

## Original article

### Evaluation of physiological index in response to cold stress in four potato cultivars (*Solanum tuberosum L.*)

Toktam Ahmadi<sup>1</sup>, Seyed Hossein Nemati<sup>2\*</sup>, Jafar Nabati<sup>3</sup>

1. Ph.D. Student, Department of Horticultural Science, Faculty of Agriculture, Ferdowsi University of Mashhad, Mashhad, Iran

2. Assistant Professor Department of Horticultural Science, Faculty of Agriculture Ferdowsi University of Mashhad, Mashhad, Iran

3. Assistant Professor Department of Agrotechnology, Faculty of Agriculture Ferdowsi University of Mashhad, Mashhad, Iran

Received 31 October 2023; Revised 12 December 2023; Accepted 9 January 2024

## Extended abstract

### Introduction

Cold and freezing temperatures can cause serious damage to the potato plant (*Solanum tuberosum L.*) and decrease yield. In intense cases, the cold stress can even destroy the entire production. Most potato cultivars are sensitive to cold, and temperature plays a crucial role in their geographic dispersal. Physiological responses of plants to cold stress include increased calcium transfer, changes in membrane lipid composition, enhanced antioxidant capacity, and accumulation of osmotic protectors. Compatibility, which involves the aggregation of cold-protecting polypeptides and osmolytes, is the primary method that plants use to cope with cold stress. Cold-compatible plants often store higher levels of soluble carbohydrates in their underground tissues. This study was conducted to investigate the mechanisms of cold tolerance in four potato cultivars: Agria, Fontane, Arinda, and Santé, highlighting the importance of cold stress to potato plants.

### Materials and methods

The study was conducted using a completely randomized design with four replications. The factors considered were temperature (4, 2, 0, -2, -4°C) and potato cultivars (Agria, Fontane, Arinda, and Sante). To evaluate the response to cold, six-week-old seedlings were transferred to a thermogradient freezer with darkness and a temperature of five degrees Celsius. The temperature gradually decreased at a rate of two degrees Celsius per hour, and the seedlings were exposed to the desired temperatures (-4, -2, 0, +2, +4 °C) for one hour. Two weeks after exposure to cold stress, the percentage of survival, plant height, and the highest shoot dry weight of the cultivars were recorded. The content of malondialdehyde (MDA), soluble carbohydrates, total phenols, proline, catalase enzyme activity, peroxidase, and superoxide dismutase were evaluated. The statistical analysis was performed using Minitab v.17.3.1 software, and mean comparison was conducted using Duncan's multi-range test at a five percent probability level with standard error.

### Results and discussion

The results revealed that the survival rate in cultivar Santé significantly decreased with decreasing temperature. Cultivar Fontane exhibited a higher survival rate than other cultivars at a temperature of -4°C. The phenol content in cultivar Santé at -2°C was 81% higher than in cultivar Fontane. In cultivar Sante, the proline content increased fourfold as the temperature decreased from 4 to 0°C. In cultivar Fontane, the proline content increased with a temperature decrease from 4 to -2°C and then decreased

\* Corresponding author: Hossein Nemati; E-Mail: [nemati@um.ac.ir](mailto:nemati@um.ac.ir)



© 2025, The Author(s). Published by University of Birjand. This is an open-access article distributed under the terms of the Creative Commons Attribution License (<https://creativecommons.org/licenses/by/4.0>).

with further temperature reduction. The soluble carbohydrate content increased with a temperature decrease in cultivars Santé, Arinda, and Agria, while it decreased in cultivar Fontane. Cultivar Santé exhibited the highest increase in MDA (malondialdehyde) content, whereas cultivar Fontane showed the lowest increment when the temperature decreased from 4 to -4°C. Regarding enzyme activities, the CAT (catalase) enzyme activity increased 9.2-fold in cultivar Santé at a temperature of 0°C. In cultivar Fontane, the highest CAT enzyme activity was observed at 2°C. The POD (peroxidase) enzyme activity showed the highest increase in cultivar Santé with a temperature decrease to -2°C. In cultivar Fontane, the SOD (superoxide dismutase) enzyme activity decreased with a temperature decrease to 2°C and then increased by 80% with further temperature reduction to 0°C. After exposure to cold stress, plant height decreased in cultivars Santé and Agria compared to the control, while it increased in cultivar Fontane with a temperature decrease. The highest shoot dry weight was observed in cultivar Fontane at a temperature of -4°C, whereas the lowest shoot dry weight was observed in cultivar Santé.

### **Conclusion**

Generally, this study showed that cultivar Santé is more sensitive to cold than cultivars Agria, Fontane, and Arinda. On the other hand, cultivars Fontane and Agria were found to be more tolerant. The studied metabolites and antioxidant compounds of cultivar Fontane were more significant under cold stress conditions, indicating more efficient defensive mechanisms compared to other cultivars. This ultimately resulted in better cold tolerance for cultivar Fontane.

**Keywords:** Antioxidants, Cold tolerance, MDA (malondialdehyde), Proline, Survival percentage

## بررسی شاخص‌های فیزیولوژیکی در پاسخ به نش سرما در چهار رقم سیب‌زمینی (*Solanum tuberosum L.*)

تکنم احمدی<sup>۱</sup>، سید حسین نعمتی<sup>۲\*</sup>، جعفر نباتی<sup>۳</sup>

۱. دانشجوی دکتری گروه باغبانی، دانشکده کشاورزی دانشگاه فردوسی مشهد، مشهد
۲. استادیار گروه باغبانی، دانشگاه فردوسی مشهد، مشهد
۳. استادیار گروه اگروتکنولوژی، دانشگاه فردوسی مشهد، مشهد

مشخصات مقاله	چکیده	
واژه‌های کلیدی:	بهمنظور بررسی تحمل به سرما در برخی ارقام سیب‌زمینی، آزمایشی بهصورت فاکتوریل در قالب طرح کامل‌تصادفی با چهار تکرار انجام شد. تیمارهای دمایی شامل (۴، ۲، ۰، -۴) و ارقام سیب‌زمینی (اگریا، فونتانه، آریندا و سانته) بودند. نتایج حاصل نشان داد در رقم سانته بقا بهطور معنی‌داری با افت دما کاهش پیدا کرد. بقا در دمای $^{\circ}\text{C}$ -۴ در رقم فونتانه ۵۵ درصد بیشتر از رقم سانته بود. محتوای فنل در رقم سانته در دمای $^{\circ}\text{C}$ -۲، ۰، ۲، ۴ در رقم فونتانه بود. در رقم سانته محتوای پرولین با کاهش دما از ۴ به صفر درجه سانتی‌گراد چهار برابر افزایش پیدا کرد. در رقم فونتانه کاهش دما از ۴ به $^{\circ}\text{C}$ ۰- محتوای پرولین افزایش و با کاهش بیشتر دما کاهش یافت. محتوای کربوهیدرات‌های محلول در رقم سانته، آریندا و اگریا با کاهش دما افزایش و در رقم فونتانه کاهش یافت. رقم سانته بیشترین و رقم فونتانه کمترین روند افزایشی مالون‌دی آلدئید را با کاهش دما از ۴ به $^{\circ}\text{C}$ -۴ داشتند. فعالیت آنزیم کاتالاز با کاهش دما تا دمای صفر درجه سانتی‌گراد در رقم سانته ۲/۹ برابر افزایش پیدا کرد. در رقم فونتانه بیشترین فعالیت آنزیم CAT در دمای $^{\circ}\text{C}$ ۰ بود. فعالیت آنزیم پراکسیداز در رقم سانته با کاهش دما از صفر به $^{\circ}\text{C}$ -۲ حدود ۹/۳ برابر افزایش یافت. در رقم فونتانه با کاهش دما تا $^{\circ}\text{C}$ ۲ فعالیت آنزیم سوپراکسید دیسموتاز کاهش یافت و با کاهش دما به صفر درجه سانتی‌گراد، ۸۰ درصد افزایش یافت. ارتفاع بوته بعد از اعمال تنفس سرما در رقم سانته و اگریا نسبت به شاهد کمتر بود ولی در رقم فونتانه با کاهش دما ارتفاع بوته نسبت به شاهد بیشتر بود. در دمای $^{\circ}\text{C}$ -۴ بیشترین وزن خشک اندام هوایی در رقم فونتانه و کمترین وزن خشک اندام هوایی در رقم سانته مشاهده شد. بهطورکلی رقم فونتانه که دارای سازوکار دفاعی بهتر و کارآمدتری نسبت به سایر ارقام بود تحمل به سرمای بہتر داد.	تاریخ دریافت: ۱۴۰۲/۰۸/۰۹ تاریخ بازنگری: ۱۴۰۲/۰۹/۲۱ تاریخ پذیرش: ۱۴۰۲/۱۰/۱۹
تاریخ انتشار: بهار ۱۴۰۴ ۱۲۶ (۱): ۱۰۹-۱۲۶	تاریخ انتشار: بهار ۱۴۰۴ ۱۲۶ (۱): ۱۰۹-۱۲۶	

### مقدمه

به عنوان یک منبع غذایی مهم در نظر گرفته می‌شود (Van Harrsselaar et al., 2017).

سرمازدگی و یخبندان دو عامل اصلی طبیعی هستند که بر تولید سیب‌زمینی تأثیر می‌گذارند. سالانه تمام مناطق تولیدکننده سیب‌زمینی در سراسر جهان سطوح متفاوتی از خسارت سرما و یخزدگی را تجربه می‌کنند (Chang and Sohn, 2014). سرمازدگی و یخبندان می‌توانند به سیب‌زمینی آسیب جدی وارد کنند و منجر به کاهش عملکرد

سیب‌زمینی (*Solanum tuberosum L.*) چهارمین محصول غذایی بعد از گندم، برنج و ذرت است (Gültekin and Ertek, 2018). سیب‌زمینی در دامنه وسیعی از زیستگاهها از ارتفاع ۴۰۰۰ متر از سطح دریا و عرض جغرافیایی ۴۷ درجه جنوبی تا ۶۵ درجه شمالی رشد می‌کند (Hijmans, 2001). غده‌های سیب‌زمینی سرشار از مواد غذایی ازجمله نشاسته، ویتامین‌ها، مواد معدنی و اسیدهای آمینه ضروری هستند و

نگردد تعریف می‌شود (Yadav, 2010). این فرایند همراه با تغییرات بیوشیمیایی و فیزیولوژیکی همراه است که درنهایت تغییرات چشمگیری را در بیان ژن، وضعیت لیپیدهای غشایی و تجمع مولکولهای کوچک به دنبال خواهد داشت (Yamaguchi-Shinozaki and Shinozaki, 2006). سازگاری به سرما باعث افزایش تحمل گیاه به تغییرات فیزیکی و فیزیکوشیمیایی در زمان مواجهه به دماهای یخزدگی می‌شود (Chen et al., 1983).

با توجه به اهمیت تنش سرما و حجم بالای خسارت این تنش به گیاه سیبزمینی این مطالعه بهمنظور بررسی سازوکارهای تحمل به سرما در چهار رقم سیبزمینی اگریا، فونتانه، آریندا و سانته انجام شد.

### مواد و روش‌ها

آزمایش به صورت فاکتوریل در قالب طرح کاملاً تصادفی و با چهار تکرار در سال ۱۳۹۹ در گلخانه تحقیقاتی دانشگاه فردوسی مشهد انجام شد. عوامل آزمایش شامل پنج سطح دما (۴، ۲، ۰، -۲، -۴ درجه سانتی‌گراد) و چهار رقم سیبزمینی (اگریا، فونتانه، آریندا و سانته) بودند. منشاء گیاهان از گیاهچه‌های کشت بافتی عاری از ویروس که از پژوهشکده بیوتکنولوژی کشاورزی اصفهان تهیه شده بودند. گیاهچه‌ها در گلدانهای پلاستیکی با قطر ۱۰ سانتی‌متر کشت شدند. گیاهچه‌ها در دمای ۲۵ درجه سانتی‌گراد روزانه و ۱۵ درجه سانتی‌گراد شبانه و رطوبت نسبی ۸۰ درصد تحت نور طبیعی در گلخانه رشد کردند.

برای ارزیابی پاسخ به تنش سرما، گیاهچه‌های شش‌هفته‌ای به فریزر ترمومگراديابان در شرایط تاریکی و دمای پنج درجه سانتی‌گراد منتقل شدند. دما به صورت تدریجی با سرعت دو درجه سانتی‌گراد در ساعت کاهش یافت و گیاهچه‌ها به مدت یک ساعت در معرض دماهای موردنظر (۴، ۲، ۰، -۲، -۴ درجه سانتی‌گراد) قرار گرفتند. سپس گیاهان به اتفاق سرد با دمای  $4 \pm 1$  درجه سانتی‌گراد با رطوبت نسبی  $70\text{--}80 \mu\text{mol m}^{-2}\text{s}^{-1}$  درصد و فتوپریود ۱۶ ساعت (شدت تابش ۰-۱۲۰) منتقل و پس از نگهداری به مدت ۲۴ ساعت در اتفاق رشد، نمونه‌برداری از برگ‌ها صورت گرفت. دو هفته پس از مواجهه با تنش سرما، درصد بقا و ارتفاع بوته، وزن خشک اندام هوایی در ارقام ثبت گردید (Nezami et al., 2018).

یا حتی از دست دادن کامل عملکرد شوند. در کشت‌های زودهنگام سیبزمینی جوانه‌زنی تحت تأثیر دماهایی پایین قرار می‌گیرد از طرفی در مرحله بلوغ خسارت زیادی در اثر سرما و یخبدان زودرس به سیبزمینی وارد می‌شود (Chang et al., 2014).

بررسی‌ها نشان داده است که با رسیدن دما به کمتر از هفت درجه سانتی‌گراد رشد گیاه سیبزمینی متوقف می‌شود و در دمای  $-0/8$ - درجه سانتی‌گراد آسیب سرمازدگی و در دمای  $-2$ - درجه سانتی‌گراد خسارت یخزدگی و دمای  $-3$ - درجه سانتی‌گراد گیاه از بین می‌رود (Fuyi and Mengyun, 1995).

به‌طورکلی، ظهور علائم خسارت سرما، بستگی به حساسیت گیاه به تنش سرما دارد و از یک گیاه به گیاه دیگر متفاوت است. حدود  $48\text{--}72$  ساعت بعد از قرارگیری در معرض سرما، علائم صدمات سرما در گیاه قابل مشاهده است. گیاهانی که در معرض سرما قرار گرفته‌اند علائم ظاهری مشابهی از جمله کاهش سطح برگ، پژمردگی و نکروزه شدن بافت (مرگ بافت) را نشان می‌دهند. دمای پایین به غشاء سلولی سیبزمینی آسیب می‌زند (Willick et al., 2018) و بر محتوای مالون دی‌آلدئید (Lin et al., 2017) اسید آبسیزیک (Huang et al., 2017)، پرولین (Phukan et al., 2016) کربوهیدرات‌های محلول (Bustamante et al., 2016) و متابولیت‌های دیگر تأثیرگذار است و منجر به تغییر در ساخت‌وساز مولکولی و فیزیولوژیکی گیاه می‌شود. پاسخ‌های فیزیولوژیکی شامل افزایش سطح انتقال یون کلسیم، تغییر در ترکیب‌ها لیپیدی غشاء، افزایش ظرفیت آنتی‌اسیدانی و تجمع محافظت‌کننده‌های اسمزی است (Fu et al., 2016).

مطالعات نشان داده است که تشکیل یخ داخل سلولی عامل اصلی آسیب به رشد گیاهان در دمای پایین است (Yadav, 2010). تشکیل یخ در بافت‌های گیاهی منجر به پسابیدگی شده که باعث آسیب مکانیکی به دیواره سلول، غشاء پلاسمایا، شکننده شدن سلول (کاهش استحکام غشا و نشت مواد حل شده) و کاهش استحکام اندامکها می‌شود (Yadav, 2010). سازگاری به دماهای پایین با قرارگیری در معرض سرماهای کوتاه‌مدت حاصل می‌شود که این فرایند سازگاری به سرما نامیده می‌شود. تحمل به سرما عبارت است از توانایی گیاه به تحمل دماهای پایین ( $0\text{--}15$  درجه سانتی‌گراد) به‌طوری که صدمه و خسارتی به بافت گیاه وارد

طول موج ۲۴۰ نانومتر (Velikova et al., 2000)، پراکسیداز در طول موج ۴۷۰ نانومتر (Srinivas et al., 1999) و آنزیم سوپراکسید دیسموتاز در طول موج ۵۶۰ نانومتر (Giannopolitis and Ries, 1977) از طریق اسپکتروفوتومتری اندازه‌گیری شد.

تجزیه و تحلیل آماری داده‌ها با نرم‌افزار Minitab 17.3.1 و مقایسه میانگین آن‌ها توسط آزمون چند دامنه‌ای دانکن در سطح احتمال پنج درصد و خطای استاندارد انجام شد. برای برآورد همبستگی، از نرم‌افزار JMP4 و برای تجزیه به مؤلفه‌های اصلی از نرم‌افزار STATISTICA8 استفاده شد.

### نتایج و بحث

جدول تجزیه واریانس نشان می‌دهد که اثرات صفات اصلی رقم و دما و همچنین برهمنکش این دو عامل برای کلیه صفات مورد بررسی معنی‌دار گردید (جدول ۱). در مورد بقا نتایج تجزیه واریانس نشان داد که بقا تحت تأثیر رقم، دما و برهمنکش آن‌ها قرار گرفت (جدول ۱). همان‌طور که در شکل ۱ ملاحظه می‌شود بقا در رقم سانته به‌طور معنی‌داری با افت دما کاهش پیدا کرد و بیشترین کاهش در دمای -۲ درجه سانتی‌گراد مشاهده شد. در رقم اگریا بقا از دمای -۲ درجه سانتی‌گراد شروع به کاهش کرد در حالی که در رقم آریندا کاهش بقا از دمای صفر درجه سانتی‌گراد شروع شد. در رقم فونتanhه با کاهش دما تغییر معنی‌داری در بقا مشاهده نشد. بقا در دمای -۴ درجه سانتی‌گراد در رقم فونتanhه حدود ۲/۳ برابر بیشتر از بقا در همین دما در رقم سانته بود (شکل ۱).

وزن خشک گیاهان ۴۸ ساعت پس از قرار گرفتن در آن ۷۰ درجه سانتی‌گراد ثبت شد. به‌منظور ارزیابی درصد بقا، گیاهچه‌ها به گلخانه منتقل شدند و پس از چهار هفته، درصد بقای آن‌ها تعیین شد. درصد بقا از طریق شمارش تعداد بوته زنده در هر گلدان با استفاده از معادله ۱ محاسبه شد (Nezami et al., 2018).

$$S (\%) = (Paf / Pbf) \times 100 \quad [1]$$

که در این معادله، S: درصد بقا، Pbf: تعداد گیاهان قبل از تیمار سرما و Paf: تعداد گیاهان زنده چهار هفته پس از اعمال تیمار سرما است.

پراکسیداسیون لیپیدها با اندازه‌گیری محتوای مالون دی‌آلدئید (MDA) (Stewart and Bewley, 1980) ارزیابی شد. محتوای کربوهیدرات‌های محلول نیز با استفاده از روش فتل سولفوریک اسید و استاندارد گلوکز اندازه‌گیری شد (Dubois et al., 1956). محتوای فتل کل با استفاده از روش معرف فولین سیکالتو در جذب ۷۶۵ نانومتر و با استفاده از استاندارد اسید گالیک تعیین شد (Singleton and Rossi, 1965). مقدار پرولین بافت برگ بر اساس روش باتس (Bates et al., 1973) اندازه‌گیری شد.

برای ارزیابی فعالیت آنزیمی، ۱۰۰ میلی‌گرم بافت برگ تازه (جوان‌ترین برگ کاملاً توسعه‌یافته) در نیتروژن مایع، پودر شد و بافر فسفات پتاسیم ۱/۰ مولار با اسیدیته ۷/۸ حاوی EDTA یک میلی مولار به آن اضافه شد. مواد نامحلول توسط سانتریفیوژ یخچال دار (سیگما مدل ۳-۱۸ K18) با ۱۲۰۰ جی به مدت ۲۰ دقیقه در دمای چهار درجه سانتی‌گراد جدا و محلول بالایی به عنوان منبع برای ارزیابی آنزیم‌ها استفاده گردید. سپس فعالیت آنزیم کاتالاز در

جدول ۱. تجزیه واریانس (سطح احتمال) صفات مورد مطالعه در گیاهچه‌های سیب‌زمینی پس از اعمال سرما

Table 1. Analysis of variance (P value) of studied traits in potato seedlings after cold stress

S.O.V	منابع تغییرات	درجه آزادی df	بقا Survival	فنول Phenol	پرولین Proline	کربوهیدرات Carbohydrate	مالون دی‌آلدئید MDA
Temperature (T)	دما	4	0.0001**	0.0001**	0.0001**	0.001**	0.0001**
Cultivar (C)	رقم	3	0.0001**	0.0001**	0.0001**	0.0001**	0.0001**
TxC	دما × رقم	12	0.0001**	0.0001**	0.0001**	0.0001**	0.0001**
Error	خطا	60					
C.V%	ضریب تغییرات		7.2	8.66	13.64	21.27	16.71

جدول ۱. ادامه

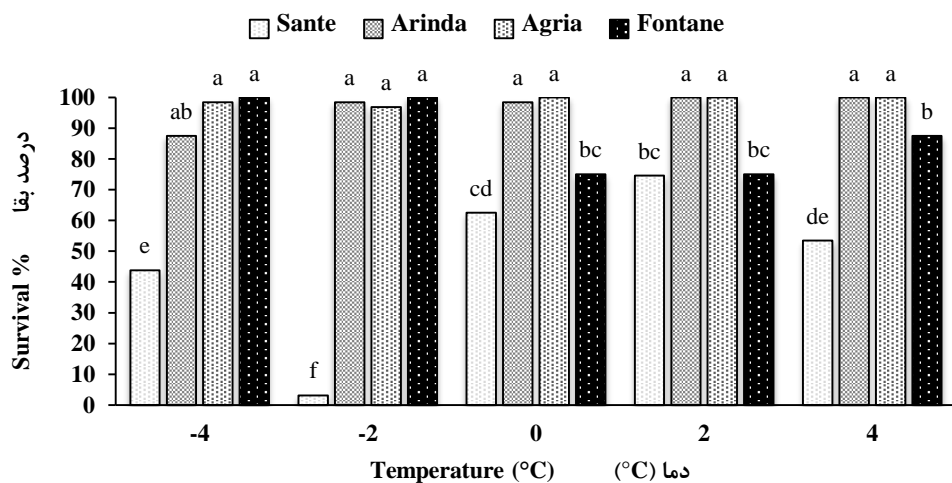
S.O.V	منابع تغییرات	درجه آزادی df	کاتالاز CAT	پراکسیداز POX	سوپر اکسیددیسموتاز SOD	ارتفاع ارتفاع Plant height	وزن خشک Shoot dry weight
Temperature (T)	دما	4	0.0001**	0.0001**	0.0001**	0.0001**	0.0001**
Cultivar (C)	رقم	3	0.134ns	0.0001**	0.0001**	0.0001**	0.0001**
TxC	دما × رقم	12	0.0001**	0.0001**	0.0001**	0.0001**	0.0001**
Error	خطا	60					
C.V%	ضریب تغییرات		32.57	25.95	0.22	5.52	7.48

و \*\* به ترتیب غیر معنی دار و معنی دار در سطح احتمال ۱ درصد ns

ns and \*\*: Non-significant and significant in probability levels of 1% respectively

ارقام فونتانه و اگریا احتمالاً به دلیل داشتن سازوکارهای دخیل در تغییر متابولیسم چربی و فسفولیپید، افزایش اسیدهای چرب و کربوهیدرات‌های محلول تحمل به سرما بیشتری نشان دادند و از طرفی شاید به علت سازوکارهای آنتی‌اسیدانی کارآمدتر نسبت به دو رقم دیگر توانسته‌اند در برابر اثرات مخرب گونه‌های فعال اکسیژن گیاهچه‌ها را از خسارت سرما محافظت نماید (Alisoltani et al., 2012).

پژوهشگران محدوده بقا را بین ۹۰ تا ۶۰ درصد در شرایط عدم خوسرمایی و خوسرمایی گزارش کردند (Nezami et al., 2009). از دلایل کاهش بقا در اثر تنفس سرما صدمات وارد به گیاهچه‌ها و افزایش تولید گونه‌های فعال اکسیژن است که سبب اختلالاتی در سلول بهویژه از طریق اکسیداسیون لیپیدهای غشاء، پروتئین‌ها و اسیدهای نوکلئیک می‌گردد (Fridovich, 1986). در مطالعه حاضر



شکل ۱. تأثیر دما بر درصد بقا گیاهچه‌های سیب‌زمینی در مرحله گیاهچه‌ای

Fig. 1. Effect of temperature on survival percent in potato seedling

کل در رقم سانتی در دمای ۴ و -۴ درجه سانتی‌گراد ۵۶ درصد بود (جدول ۲). رقم آریندا نسبت به رقم سانتی محتوای فنل کل کمتری داشت در این رقم محتوای فنل کل تا دمای صفر درجه سانتی‌گراد روند کاهشی و بعداز آن روند افزایشی داشت. در رقم اگریا محتوای فنل کل تا دمای صفر درجه سانتی‌گراد افزایش یافت و بعداز آن روند کاهشی نشان داد که این کاهش معنی دار نبود. در رقم فونتانه تا دمای -۲ درجه سانتی‌گراد روند کاهشی محتوای فنل کل مشاهده شد، در

محتوای فنل کل بررسی تغییرات محتوای فنل کل در ارقام سیب‌زمینی نشان داد که دما، رقم و برهمکنش آن‌ها تأثیر معنی داری بر این ویژگی داشت (جدول ۱). در رقم سانتی با کاهش دما محتوای فنل کل روند کاهشی داشت، با این وجود در دمای -۲ درجه سانتی‌گراد نسبت به دمای صفر درجه سانتی‌گراد مقداری افزایش نشان داد که معنی دار نبود. تفاوت بین محتوای فنل

درجه سانتی‌گراد میزان بقا کاهش و محتوای فنل افزایش پیدا کرد که با نتایج همبستگی مطابقت دارد. مطالعات نشان داده است که محتوای فنل کل در گیاهان به دلیل عوامل تنش‌زای محیطی و زیستی به‌طور چشمگیری افزایش پیدا می‌کند. این ترکیبها در القای بیان ژن مسیرهای انتقال پیام و هموستاز متابولیک در گیاهان در شرایط نامساعد محیطی نقش دارند تا گیاهان بتوانند پاسخ‌های مناسبی به شرایط تنش داشته باشند (Singh et al., 2011). افزایش قابل توجه در محتوای فنل کل در گیاهان گوجه‌فرنگی (*Solanum lycopersicum* L.) و هندوانه (*Citrullus lanatus*) کشت‌شده در شرایط سرد گزارش شده است.

دماهای ۴- درجه سانتی‌گراد روند تغییرات افزایشی بود که تغییرات آن از نظر آماری معنی‌دار نبود. نتایج نشان داد که محتوای فنل در رقم سانته در دمای ۲- درجه سانتی‌گراد ۸۱ درصد از محتوای فنل کل در رقم فونتانه بیشتر بود. همبستگی بین صفات بین محتوای فنل کل و بقا در دمای ۴- درجه سانتی‌گراد ( $F=-0.72^{***}$ )، دمای ۲ درجه سانتی‌گراد سانتی‌گراد ( $F=-0.89^{**}$ )، دمای ۲ درجه سانتی‌گراد ( $F=-0.84^{**}$ ) منفی و معنی‌دار بود (جدول ۵ و ۶). با توجه به نتایج بدست‌آمده با کاهش دما تا صفر درجه سانتی‌گراد درصد بقا تغییر معنی‌داری نداشت و محتوای فنل با کاهش دما تا صفر درجه سانتی‌گراد روند کاهشی داشت و با کاهش بیشتر دما به ۴-

جدول ۲. تأثیر دما بر صفات مورد مطالعه در ارقام سیب‌زمینی در مرحله گیاهچه‌ای

Table 2. Effect of temperatures on study traits in potato cultivars in seedling stage

صفت Treat	رقم Cultivar	Temperature (°C)					دما
		-4	-2	0	2	4	
Total phenol content (mg.gfw <sup>-1</sup> )	Sante	116 <sup>c-h</sup>	162 <sup>ab</sup>	140 <sup>bc</sup>	139 <sup>bc</sup>	181 <sup>a</sup>	
	Arinda	102 <sup>e-i</sup>	95.8 <sup>f-i</sup>	76.1 <sup>i</sup>	93.9 <sup>g-i</sup>	104 <sup>d-h</sup>	
	Agria	101 <sup>e-i</sup>	120 <sup>c-g</sup>	128 <sup>c-e</sup>	130 <sup>cd</sup>	123 <sup>c-f</sup>	
	Fontane	91.5 <sup>h-i</sup>	89.1 <sup>h-i</sup>	104 <sup>d-h</sup>	121 <sup>c-g</sup>	122 <sup>c-f</sup>	
Proline content (mg.gfw <sup>-1</sup> )	Sante	0.490 <sup>cd</sup>	0.650 <sup>b</sup>	1.90 <sup>a</sup>	0.770 <sup>b</sup>	0.460 <sup>de</sup>	
	Arinda	0.320 <sup>d-g</sup>	0.320 <sup>d-g</sup>	0.300 <sup>g</sup>	0.410 <sup>f-g</sup>	0.400 <sup>g</sup>	
	Agria	0.390 <sup>d-g</sup>	0.410 <sup>bc</sup>	0.220 <sup>d-g</sup>	0.260 <sup>d-f</sup>	0.220 <sup>d-g</sup>	
	Fontane	0.320 <sup>d-g</sup>	0.710 <sup>d-f</sup>	0.350 <sup>e-g</sup>	0.400 <sup>d-f</sup>	0.270 <sup>fg</sup>	
Soluble carbohydrates content (mg.gfw <sup>-1</sup> )	Sante	4.25 <sup>a</sup>	2.56 <sup>a-c</sup>	1.55 <sup>a-f</sup>	2.72 <sup>ab</sup>	3.04 <sup>a-e</sup>	
	Arinda	3.18 <sup>a-d</sup>	3.31 <sup>b-f</sup>	2.99 <sup>c-f</sup>	3.94 <sup>b-f</sup>	2.78 <sup>a-f</sup>	
	Agria	1.96 <sup>c-f</sup>	1.81 <sup>e-f</sup>	1.77 <sup>f</sup>	2.09 <sup>c-f</sup>	1.81 <sup>d-f</sup>	
	Fontane	2.34 <sup>c-f</sup>	1.64 <sup>d-f</sup>	2.34 <sup>d-f</sup>	2.12 <sup>c-f</sup>	2.74 <sup>b-f</sup>	
مالون‌دی‌آلدئید MDA (ng.gfw <sup>-1</sup> )	Sante	18.1 <sup>de</sup>	29.8 <sup>bc</sup>	6.31 <sup>g-h</sup>	27.9 <sup>c</sup>	3.44 <sup>h</sup>	
	Arinda	23.8 <sup>cd</sup>	28.6 <sup>bc</sup>	36.8 <sup>ab</sup>	18.2 <sup>de</sup>	14.7 <sup>e-g</sup>	
	Agria	12.0 <sup>e-h</sup>	9.90 <sup>e-h</sup>	18.3 <sup>de</sup>	6.95 <sup>gh</sup>	8.60 <sup>f-h</sup>	
	Fontane	15.7 <sup>d-f</sup>	13.4 <sup>e-g</sup>	41.0 <sup>a</sup>	28.7 <sup>bc</sup>	11.6 <sup>e-h</sup>	

میانگین‌های دارای حروف مشابه در هر صفت بر اساس آزمون حداقل اختلاف معنی‌دار (Duncan)، تفاوت معنی‌داری در سطح احتمال یک درصد ندارند.  
Means with the similar letter are not significantly different ( $P \leq 0.01$ ) based on last significant difference test (Duncan).

درجه سانتی‌گراد به ترتیب موجب افزایش محتوای پرولین به مقدار ۸۶ و ۷۷ درصد نسبت به دمای چهار درجه سانتی‌گراد گردید. در رقم فونتانه کاهش دما از چهار به ۲- درجه سانتی‌گراد محتوای پرولین افزایش یافت (جدول ۳). در بین ارقام کمترین محتوای پرولین کاهش یافت (جدول ۳). در بین ارقام کمترین محتوای پرولین در رقم اگریا در دمای ۴ درجه سانتی‌گراد به دست آمد.

همان‌طور که نتایج نشان داد در رقم سانته میزان پرولین در اثر سرما در دمای صفر درجه سانتی‌گراد افزایش

### محتوای پرولین

نتیجه این مطالعه نشان داد که اثر دما، رقم و بره‌مکنش آن‌ها بر محتوای پرولین معنی‌دار بود (جدول ۱). در رقم سانته محتوای پرولین با کاهش دما از چهار درجه سانتی‌گراد تا دمای صفر درجه سانتی‌گراد افزایش پیدا کرد و پس از آن کاهش یافت. میزان افزایش پرولین از دمای چهار به صفر درجه سانتی‌گراد در رقم سانته چهار برابر بود. در رقم آریندا بین دماهای مورد مطالعه تفاوت معنی‌داری از نظر محتوای پرولین مشاهده نشد. در رقم اگریا کاهش دما به ۲- و ۴-

ساختار غشاء از خسارت تنش به آن ممانعت می‌نمایند (Gusta and Wisniewski, 2013). کاهش کربوهیدرات‌های محلول در رقم فونتانه احتمالاً به این علت بوده است که سایر مسیرهای فتوسنتزی سعی کردند به جای تجمع کربوهیدرات‌های محلول، آن‌ها را صرف بیوسنتز سایر مسیرهای آنزیمی اکسیدانی و غیر اکسیدانی کنند تا سازوکارهای دفاعی را فعال کنند. افزایش محتوای کربوهیدرات‌های محلول در ارقام سانته، آریندا و اگریا در دمای ۴- درجه سانتی‌گراد به علت متوقف شدن کل فعالیت‌های فیزیولوژیکی و بیوشیمیایی سلول در این دما بوده و گیاه فرستی برای فعال کردن سازوکارهای القای تحمل به‌واسطه محتوای کربوهیدرات‌های محلول را نداشته است (Rihan et al., 2017). بر همین اساس همبستگی بین بقا و محتوای کربوهیدرات‌های محلول نیز منفی بود و این ویژگی نتوانست در بهبود بقای ارقام موردمطالعه مؤثر باشد.

معنی‌داری داشت که بعدازآن با روند کاهشی همراه شد، ولی همچنان از دماهای بالای صفر بیشتر بود که به علت یخ‌بستن و متوقف شدن فعالیت‌های متابولیکی سلول (Rihan et al., 2017) محتوای پرولین نسبت به دمای صفر درجه سانتی‌گراد کاهش پیدا کرد. با توجه به نتایج به‌دست‌آمده تغییر محتوای پرولین ارقام سیب‌زمینی نسبت به نوسانات دما متفاوت است. نتایج بررسی همبستگی بین صفات نیز نشان داد که همبستگی بین محتوای پرولین و بقا در دمای  $-0/80^{***}$  ( $r=0/80^{***}$ )، صفر ( $r=0/84^{***}$ ) و ۴ درجه سانتی‌گراد ( $r=-0/59^{**}$ ) منفی و معنی‌دار بود (جدوال ۵ و ۷). همبستگی بین محتوای پرولین و محتوای فنل فقط در دمای صفر درجه سانتی‌گراد ( $r=0/59^{**}$ ) مثبت و معنی‌دار بود و در دماهای دیگر همبستگی معنی‌داری وجود نداشت (جدوال ۵ و ۷). نتایج به‌دست‌آمده با نتایج به‌دست‌آمده در گیاه برنج (*Saccharum officinarum*) و نیشکر (*Oryza sativa*) مطابقت داشت (de Freitas et al., 2019).

#### پراکسیداسیون لیپیدها

به‌منظور بررسی پایداری غشاء سلولی محتوای مالون‌دی‌آلدئید (MDA) اندازه‌گیری شد. کاهش دما بر محتوی مالون‌دی‌آلدئید به عنوان فرآورده نهایی پراکسیداسیون لیپیدی غشاء در هر چهار رقم تفاوت معنی‌داری داشت (جدول ۱). افزایش اکسیداسیون لیپیدهای غشای سلول و محتوای مالون‌دی‌آلدئید در رقم سانته با کاهش دما از ۴ به ۴- درجه سانتی‌گراد روند افزایشی داشت که بیشترین افزایش در دمای ۲- درجه سانتی‌گراد مشاهده شد که  $8/5$  برابر بیشتر از دمای چهار درجه سانتی‌گراد بود (جدول ۲). رقم آریندا، اگریا و فونتانه هم در محتوای مالون‌دی‌آلدئید افزایش معنی‌داری با کاهش دما نشان دادند که این افزایش نسبت به رقم سانته کمتر بود. رقم فونتانه با  $34$  درصد افزایش محتوای مالون‌دی‌آلدئید از دمای ۴ به ۴ درجه سانتی‌گراد کمترین میزان افزایش را داشت (جدول ۲). گیاهان مقدار زیادی از گونه‌های اکسیژن فعال (ROS) را تحت تنش دمای پایین تولید می‌کنند که به غشای سلول آسیب می‌رساند و مواد مضر در سلول تجمع می‌یابد. در میان آن‌ها محتوای مالون‌دی‌آلدئید به‌طور معنی‌داری افزایش بیشتری دارد (Mittler et al., 2004). محتوای مالون‌دی‌آلدئید به عنوان یکی از شاخص‌های آسیب اکسیداتیو در نظر گرفته می‌شود و با تحمل سرمایی گیاه همبستگی منفی دارد (Li et al., 2008). در این پژوهش نیز همبستگی

محتوای کربوهیدرات‌های محلول: اثر دما، رقم و برهمکنش آن‌ها بر محتوای کربوهیدرات‌های محلول معنی‌دار بود (جدول ۱). در رقم سانته ( $39$  درصد)، آریندا ( $14$  درصد) و اگریا ( $8$  درصد) محتوای کربوهیدرات‌های محلول با کاهش دما از ۴ به ۴- درجه سانتی‌گراد افزایش یافت (جدول ۲). بر عکس سایر ارقام در رقم فونتانه محتوای کربوهیدرات‌های محلول با کاهش دما از ۴ به ۴- درجه سانتی‌گراد،  $14$  درصد کاهش پیدا کرد اما این تغییرات معنی‌داری نبود. بیشترین میزان افزایش محتوای کربوهیدرات‌های محلول با کاهش دما در رقم سانته مشاهده شد.

همبستگی منفی و معنی‌داری بین محتوای کربوهیدرات‌های محلول و بقا در دمای ۴- درجه سانتی‌گراد ( $r=-0/78^{***}$ ) مشاهده شد. همچنین بین محتوای کربوهیدرات‌های محلول و محتوای فنل در دمای ۴- در دمای  $0/60^{***}$  ( $r=-0/64^{***}$ ) و ۲ درجه سانتی‌گراد ( $r=-0/54^{**}$ ) همبستگی منفی و معنی‌دار وجود داشت (جدوال ۵ و ۷). تنش دمای پایین می‌تواند سبب خسارت به غشای سلول و ایجاد اختلال در انتقال یون‌ها شود. در گیاهان متحمل، تجمع کربوهیدرات‌های محلول در گیاه انرژی موردنیاز را در طی خوسرمایی به‌منظور مقابله با تنش یخ‌زدگی فراهم می‌کند (Soliman et al., 2018). تجمع کربوهیدرات‌های محلول به عنوان اسمولیت‌های سازگار سبب افزایش تحمل گیاه به تنش یخ‌زدگی شده و از طریق حفظ

### فعالیت آنزیم کاتالاز (CAT)

نتایج این بررسی نشان داد که برهمکنش دما و رقم بر فعالیت آنزیم کاتالاز معنی‌دار بود (جدول ۱). در رقم سانته با کاهش دما تا دمای صفر درجه سانتی‌گراد فعالیت آنزیم  $2/9$  برابر افزایش پیدا کرد ولی با کاهش بیشتر دما به  $-4$  درجه سانتی‌گراد فعالیت آنزیم  $2/8$  برابر نسبت به دمای صفر درجه سانتی‌گراد کاهش یافت (جدول ۳). در رقم آریندا فعالیت آنزیم کاتالاز با کاهش دما تا  $-2$  درجه سانتی‌گراد کاهش یافت و با کاهش بیشتر دما به  $-4$  درجه سانتی‌گراد فعالیت این آنزیم افزایش یافت. فعالیت آنزیم کاتالاز در رقم اگریا روند ثابتی نداشت و بیشترین فعالیت آنزیم کاتالاز در دمای صفر درجه سانتی‌گراد دیده شد. همچنین در این رقم فعالیت آنزیم کاتالاز در دمای  $-4$  درجه سانتی‌گراد بیشتر از دمای  $4$  درجه سانتی‌گراد بود. در رقم فونتنه بیشترین فعالیت آنزیم کاتالاز در دمای  $2$  درجه سانتی‌گراد بود که با کاهش دما به  $-4$  درجه سانتی‌گراد  $3/4$  برابر فعالیت آنزیم کاهش یافت (جدول ۳).

بین محتوای مالون‌دی‌آلدئید و محتوای فنل در دمای صفر ( $r=-0/79^{**}$ ) و  $4$  درجه سانتی‌گراد ( $r=-0/84^{**}$ ) منفی و معنی‌دار بود (جدول ۶ و ۷). نتایج پژوهش‌های پیشین نشان داد که کاهش در میزان مالون‌دی‌آلدئید نشانگر پایداری بیشتر اسیدهای چرب غیراشبع و تحمل بیشتر به تنفس سرما در لاین‌های گوجه‌فرنگی متحمل به سرما است (Liu et al., 2012). همچنین در واکنش به دمای پایین میزان مالون‌دی‌آلدئید رقم متحمل به سرما کلزا بهاره، بسیار کمتر از رقم حساس به سرما افزایش یافت (Moieni et al., 2014). همبستگی محتوای مالون‌دی‌آلدئید و بقا در دمای  $-2$  ( $r=-0/57^{**}$ ) و  $2$  درجه سانتی‌گراد ( $r=-0/84^{**}$ ) منفی و معنی‌دار و در دمای  $4$  درجه سانتی‌گراد ( $r=0/73^{**}$ ) مثبت و معنی‌داری بود (جدول ۵ و ۷).

اثر تنفس سرما بر فعالیت آنزیم کاتالاز (CAT)، آنزیم پراکسیداز (POD) و آنزیم سوپر اکسید دیسموتاز (SOD)

جدول ۳. تأثیر دما بر فعالیت آنزیم‌های آنتی‌اکسیدانی در ارقام سیب‌زمینی در مرحله گیاهچه‌ای

Table 3. Effect of temperatures on antioxidants activity in potato cultivars in seedling stage

صفات	Cultivar	Temperature (°C)				
		رقم	-4	-2	0	2
CAT (Unit.gfw <sup>-1</sup> )	Sante	686 <sup>c</sup>	1267 <sup>c</sup>	2669 <sup>ab</sup>	1281 <sup>c</sup>	913 <sup>c</sup>
	Arinda	1202 <sup>c</sup>	892 <sup>c</sup>	1295 <sup>c</sup>	1345 <sup>bc</sup>	1345 <sup>c</sup>
	Agria	1462 <sup>bc</sup>	1296 <sup>c</sup>	1485 <sup>bc</sup>	984 <sup>c</sup>	1080 <sup>c</sup>
	Fontane	833 <sup>c</sup>	1866 <sup>ac</sup>	1314 <sup>c</sup>	2880 <sup>a</sup>	852 <sup>c</sup>
پراکسیداز POX (Unit.gfw <sup>-1</sup> )	Sante	1110 <sup>b</sup>	2105 <sup>a</sup>	225 <sup>e</sup>	675 <sup>d</sup>	243 <sup>e</sup>
	Arinda	232 <sup>e</sup>	130 <sup>e</sup>	1167 <sup>b</sup>	756 <sup>cd</sup>	138 <sup>e</sup>
	Agria	60 <sup>e</sup>	114 <sup>e</sup>	1046 <sup>bc</sup>	181 <sup>e</sup>	85 <sup>e</sup>
	Fontane	206 <sup>e</sup>	179 <sup>e</sup>	161 <sup>e</sup>	164 <sup>e</sup>	129 <sup>e</sup>
سوپر اکسید دیسموتاز SOD (Unit.gfw <sup>-1</sup> )	Sante	0.968 <sup>a</sup>	0.964 <sup>a</sup>	0.280 <sup>g</sup>	0.549 <sup>ef</sup>	0.942 <sup>ab</sup>
	Arinda	0.914 <sup>a-d</sup>	0.918 <sup>a-d</sup>	0.919 <sup>a-c</sup>	0.896 <sup>a-d</sup>	0.890 <sup>a-d</sup>
	Agria	0.704 <sup>c-e</sup>	0.685 <sup>d-f</sup>	0.723 <sup>b-e</sup>	0.462 <sup>fg</sup>	0.549 <sup>ef</sup>
	Fontane	0.860 <sup>a-d</sup>	0.826 <sup>a-d</sup>	0.826 <sup>a-d</sup>	0.731 <sup>b-e</sup>	0.745 <sup>a-e</sup>

میانگین‌های دارای حروف مشابه در هر صفت بر اساس آزمون حداقل اختلاف معنی‌دار (Duncan)، تفاوت معنی‌داری در سطح احتمال یک درصد ندارند.

Means with the similar letter are not significantly different ( $P \leq 0.01$ ) based on last significant difference test (Duncan).

سانتی‌گراد در رقم فونتنه باعث از بین رفتن و جلوگیری از آسیب‌های  $H_2O_2$  شود. کاهش فعالیت این آنزیم در دماهای  $-2$  و  $-4$  درجه سانتی‌گراد احتمالاً به خاطر رفع نیاز سلول و کنترل اثرات مخرب تنفس است. عموماً فرض بر این است که کاهش در فعالیت آنزیم کاتالاز ناشی از غلظت بالای

همبستگی بین فعالیت آنزیم کاتالاز (CAT) و بقا در دمای صفر ( $r=-0/62^{**}$ ) و  $2$  درجه سانتی‌گراد ( $r=-0/50^{**}$ ) منفی و معنی‌دار بود (جدول ۶ و ۷). می‌توان احتمال داد که فعالیت بیشتر و کاراتر آنزیم CAT در دمای صفر درجه سانتی‌گراد در رقم سانته و اگریا و در دمای  $2$  درجه

فعالیت آنزیم سوپر اکسید دیسموتاز (SOD) نتایج این مطالعه نشان داد که برهمکنش سرما و رقم بر فعالیت آنزیم سوپر اکسید دیسموتاز در معنی دار بود (جدول ۱). میزان فعالیت آنزیم سوپر اکسید دیسموتاز در رقم سانته با کاهش دما تا صفر درجه سانتی گراد کاهش پیدا کرد ولی با کاهش بیشتر دما به  $-4^{\circ}\text{C}$  درجه سانتی گراد فعالیت آنزیم  $3/4$  برابر افزایش یافت. در رقم آریندا، اگریا و فونتانه فعالیت آنزیم سوپر اکسید دیسموتاز با کاهش دما روند افزایشی داشت (جدول ۳). در رقم اگریا با کاهش دما تا  $2^{\circ}\text{C}$  درجه سانتی گراد فعالیت آنزیم سوپر اکسید دیسموتاز کاهش یافت و با کاهش بیشتر دما به صفر درجه سانتی گراد  $52^{\circ}\text{C}$  درصد فعالیت این آنزیم افزایش یافت. در رقم فونتانه و آریندا به ترتیب با کاهش دما فعالیت آنزیم سوپر اکسید دیسموتاز،  $17^{\circ}\text{C}$  و  $2^{\circ}\text{C}$  درصد افزایش یافت. این افزایش فعالیت آنزیم سوپر اکسید دیسموتاز می تواند نشان دهنده کارایی آنزیم سوپر اکسید دیسموتاز در ایجاد تحمل به سرما در شرایط تنفس باشد.

به طور کلی آنتی اکسیدان ها نقش مهمی در تحمل به سرما ایفا می کنند. بین فعالیت آنتی اکسیدان ها و تحمل گیاه به تنفس سرما ارتباط و همبستگی نزدیکی وجود دارد. به گونه ای که فعالیت آن ها در گیاهان متاحمل بیشتر از گیاهان حساس است (Caverza et al., 2012). در مطالعه حاضر همبستگی بین فعالیت آنزیم سوپر اکسید دیسموتاز و محتوای مالون دی آلدئید در دمای  $-4^{\circ}\text{C}$ ،  $2^{\circ}\text{C}$  و  $0^{\circ}\text{C}$  (نحوه ۷۰\*\*\* و صفر درجه سانتی گراد  $0^{\circ}\text{C}$ ) مثبت و معنی دار بود به این مفهوم که با افزایش عوامل تخربی کننده میزان فعالیت آنزیمی برای کاهش خسارت افزایش می یابد از طرفی همبستگی بین فعالیت آنزیم سوپر اکسید دیسموتاز و بقا در دمای  $-4^{\circ}\text{C}$  (نحوه  $0^{\circ}\text{C}$  و  $52^{\circ}\text{C}$ ) و  $4^{\circ}\text{C}$  درجه سانتی گراد ( $-0^{\circ}\text{C}$ ) منفی و معنی دار بود و در دمای صفر درجه سانتی گراد ( $-0^{\circ}\text{C}$ ) منفی و معنی دار بود (جدول ۵ و ۶) و  $7^{\circ}\text{C}$ . به نظر می رسد در سرمهای شدید نقش فعالیت آنزیم سوپر اکسید دیسموتاز کمتر می شود و تا دمای صفر درجه موجب بهبود بقای گیاه سیب زمینی می گردد.

#### ارتفاع بوته

اثر دما، رقم و برهمکنش آن ها بر ارتفاع بوته معنی دار بود (جدول ۱). ارتفاع بوته بعد از اعمال تنفس سرما و کاهش دما از  $4^{\circ}\text{C}$  به  $-4^{\circ}\text{C}$  درجه سانتی گراد در رقم سانته  $33^{\circ}\text{C}$  درصد و در رقم اگریا  $29^{\circ}\text{C}$  درصد نسبت به شاهد کاهش پیدا کرد. در رقم

$\text{H}_2\text{O}_2$  است (Anderson et al., 1995). کاتالاز نقش مهمی در تحمل سرما (Prasad et al., 1994) و حذف مطالعه حاضر همبستگی بین فعالیت آنزیم کاتالاز (CAT) و محتوای مالون دی آلدئید در دمای صفر درجه سانتی گراد ( $0^{\circ}\text{C}$ ) منفی و معنی دار بود (جدول ۶). مقایسه فعالیت آنزیم کاتالاز در سیب زمینی در شرایط تنفس سرما نشان داد که میانگین فعالیت آنزیم کاتالاز در تنفس سرما بالاتر بود (Che et al., 2020).

فعالیت آنزیم پراکسیداز (POD) فعالیت آنزیم پراکسیداز تحت تأثیر عوامل دما، رقم و برهمکنش این دو عامل معنی دار بود (جدول ۱). نتایج نشان داد که در رقم سانته با کاهش دما فعالیت آنزیم پراکسیداز افزایش پیدا کرد. در این رقم بیشترین افزایش فعالیت آنزیم پراکسیداز در دمای  $-2^{\circ}\text{C}$  درجه سانتی گراد مشاهده شد که  $8/6$  برابر بیشتر از دمای  $4^{\circ}\text{C}$  درجه سانتی گراد بود (جدول ۳). در رقم آریندا فعالیت آنزیم پراکسیداز با کاهش دما روند افزایشی داشت که بیشترین میزان فعالیت این آنزیم در دمای صفر درجه سانتی گراد بود که  $8/4$  برابر بیشتر از دمای  $4^{\circ}\text{C}$  درجه سانتی گراد بود. در رقم اگریا روند تغییرات فعالیت آنزیم پراکسیداز با کاهش دما تا صفر درجه سانتی گراد  $12^{\circ}\text{C}$  برابر افزایش پیدا کرد و با کاهش دما به  $-4^{\circ}\text{C}$  درجه سانتی گراد فعالیت آنزیم پراکسیداز دمای از  $4^{\circ}\text{C}$  به  $-4^{\circ}\text{C}$  درجه سانتی گراد فعالیت آنزیم پراکسیداز  $59^{\circ}\text{C}$  درصد افزایش پیدا کرد ولی افزایش معنی دار نبود (جدول ۳). ارتباط معقولی بین افزایش فعالیت آنزیم پراکسیداز و تحمل به سرما در ارقام وجود دارد. زمانی که گیاه در معرض سرما قرار می گیرد تولید گونه های اکسیژن فعال در آن افزایش می یابد. این مولکول ها باعث تخربی پروتئین ها، اسیدهای توکلیک و غشا های سلولی می شوند. لذا سلول ها برای کاهش اثرات تخربی این مولکول ها، فعالیت آنزیم های آنتی اکسیدان از جمله پراکسیداز و سوپر اکسید دیسموتاز را افزایش می دهند (Luo et al., 2012). بررسی همبستگی بین فعالیت آنزیم پراکسیداز و بقا در دمای  $-4^{\circ}\text{C}$ ،  $2^{\circ}\text{C}$  و  $0^{\circ}\text{C}$  و  $4^{\circ}\text{C}$  درجه سانتی گراد ( $-0^{\circ}\text{C}$  و  $52^{\circ}\text{C}$ ) منفی و معنی دار بود (جدول ۵ و ۷). به نظر می رسد این آنزیم در مطالعه حاضر نتوانسته تأثیر معنی داری بر بهبود بقای در شرایط تنفس سرما در سیب زمینی داشته باشد.

و توانایی اولیه بالاتری بودند (Barzan et al., 2018) همچنین گزارشی مبنی بر کاهش ارتفاع بوته رازیانه (*Fueniculum vulgar*) در اثر کاهش دما از صفر به -۸۰ درجه سانتی‌گراد وجود دارد (Siahmerghouie et al., 2011). در این مطالعه ارتفاع بوته و بقا در دمای -۴ (r=+0/۸۵\*\*\*), ۲ (r=-0/۹۴\*\*\*), و صفر درجه سانتی‌گراد (r=-0/۸۵\*\*\* همبستگی مثبت و معنی‌دار داشتند (جداول ۵ و ۷). این نتیجه می‌تواند به این مفهوم باشد که احتمالاً ارقام مقاوم در برابر تنش سرما در ادامه فصل رشد با ترمیم سریع‌تر خسارت‌های سرما قادر به رشد بیشتر می‌باشند.

آریندا با کاهش دما ارتفاع بوته تغییر معنی‌داری نداشت. در رقم فونتانه با کاهش دما از ۴ به -۴ درجه سانتی‌گراد برخلاف ارقام دیگر ارتفاع بوته به طور معنی‌داری ۱۵ درصد نسبت به شاهد افزایش پیدا کرد (جدول ۴).

برخی از خصوصیات مانند پایداری غشاء‌های سلولی (Cyril et al., 1988) و ذخیره کربوهیدرات‌های محلول (Fry et al., 1993) و سنتز پروتئین‌های تنش سرما نقش مهمی در تحمل به یخ‌زدگی و توان بازیابی گیاهچه پس از دوره سرما دارد. پژوهشگران بیان کردند که ژنتیک‌های متتحمل به سرما در کلزا (*Brassica napus* L.) دارای بنیه

جدول ۴. تأثیر دما بر ارتفاع بوته و وزن خشک اندام هوایی در ارقام سیب‌زمینی در مرحله گیاهچه‌ای

Table 4. Effect of temperatures on plant height and shoot dry weight in potato cultivars in seedling stage

صفات	رقم	Temperature (°C)					دما
		-4	-2	0	2	4	
Plant height (cm)	Sante	15.1 <sup>i</sup>	10.8 <sup>j</sup>	10.1 <sup>j</sup>	18.3 <sup>gh</sup>	20.1 <sup>d-h</sup>	
	Arinda	20.9 <sup>c-h</sup>	18.0 <sup>h</sup>	19.9 <sup>e-h</sup>	21.5 <sup>b-f</sup>	20.4 <sup>d-h</sup>	
	Agria	20.5 <sup>c-h</sup>	19.6 <sup>e-h</sup>	24.2 <sup>ab</sup>	23.4 <sup>bc</sup>	26.5 <sup>a</sup>	
	Fontane	23.0 <sup>b-d</sup>	21.1 <sup>c-g</sup>	19.2 <sup>f-h</sup>	22.5 <sup>b-e</sup>	19.9 <sup>e-h</sup>	
وزن خشک	Sante	48.9 <sup>h</sup>	35.2 <sup>h</sup>	37.4 <sup>h</sup>	28.3 <sup>h</sup>	30.0 <sup>h</sup>	
	Arinda	193 <sup>c-f</sup>	182 <sup>c-f</sup>	199 <sup>b-f</sup>	225 <sup>a-c</sup>	148 <sup>g</sup>	
	Agria	254 <sup>a</sup>	225 <sup>a-c</sup>	200 <sup>b-f</sup>	188 <sup>d-f</sup>	216 <sup>b-d</sup>	
	Fontane	213 <sup>be</sup>	232 <sup>ab</sup>	189 <sup>d-f</sup>	214 <sup>b-e</sup>	176 <sup>f-g</sup>	

میانگین‌های دارای حروف مشابه در هر صفت بر اساس آزمون حداقل اختلاف معنی‌دار (Duncan)، تفاوت معنی‌داری در سطح احتمال یک درصد ندارند.

Means with the similar letter are not significantly different ( $P \leq 0.01$ ) based on last significant difference test (Duncan).

در شرایط تنش تولید متابولیت‌های گیاهی همراه با صرف انرژی است (Adhikari et al., 2022) بررسی نتایج همبستگی نشان داد که بین وزن خشک و محتوای فل در دمای -۴ (-۰/۵۶\*), ۲ (r=-0/۸۵\*\*\*), صفر (r=-0/۶۱\*\*\*), ۴ (r=+0/۶۳\*\*\*), درجه سانتی‌گراد (r=-0/۸۱\*\*\*), همبستگی منفی و معنی‌دار وجود دارد. از طرفی همبستگی بین وزن خشک و محتوای پرولین در دمای -۴ (-۰/۵۷\*), صفر (-۰/۹۹\*\*\*), ۴ (r=-0/۷۶\*\*\*), ۲ درجه سانتی‌گراد (-۰/۸۶\*\*\*), منفی و معنی‌دار بود. همچنین بین وزن خشک و محتوای کربوهیدرات‌های محلول در دمای -۴ (-۰/۸۵\*\*\*), ۴ درجه سانتی‌گراد (-۰/۵۲\*\*\*) منفی و معنی‌دار بود (جدوال ۵) و (۷).

#### وزن خشک اندام هوایی

تجزیه واریانس داده‌ها نشان داد که وزن خشک اندام هوایی تحت تأثیر رقم، دما و برهمکنش آن‌ها قرار گرفت (جدول ۱). در رقم سانته وزن خشک اندام هوایی با اعمال تنش سرما و کاهش دما افزایش پیدا کرد که این افزایش معنی‌دار نبود (جدول ۴). در ارقام آریندا، اگریا و فونتانه وزن خشک اندام هوایی با اعمال تنش سرما به طور معنی‌داری افزایش پیدا کرد. در دمای -۴ درجه سانتی‌گراد بیشترین وزن خشک اندام هوایی در رقم فونتانه و کمترین وزن خشک اندام هوایی در رقم سانته مشاهده شد (جدول ۴).

جدول ۵. ضرایب همبستگی صفات اندازه‌گیری شده در گیاهچه‌های سیب‌زمینی تحت تأثیر دما (قطر بالا -۴°C و قطر پایین -۲°C) درجه سانتی‌گراد

	-2°C	-4°C	1	2	3	4	5	6	7	8	9	10
1	بقا		1	-0.72**	-0.59**	-0.77**	-0.24ns	0.45ns	-0.85**	-0.60**	0.85**	0.91**
2	فنول		-0.89**	1	0.44ns	0.60**	0.04ns	-0.28ns	0.47ns	0.21ns	-0.64**	-0.56*
3	پرولین		-0.43ns	0.21ns	1	0.52ns	-0.28ns	0.02ns	0.65**	0.20ns	-0.69**	-0.57*
4	کربوهیدرات		-0.19ns	0.09ns	-0.37ns	1	0.25ns	-0.33ns	0.74**	0.62**	-0.73**	-0.85**
5	سوبل کربوهیدرات		-0.57*	0.37ns	-0.06ns	0.66**	1	-0.32ns	0.19ns	0.66**	0.01ns	-0.24ns
6	مالون دی‌آلدئید											
7	MDA											
8	کاتالاز		0.08ns	-0.15ns	0.49*	-0.35ns	-0.24ns	1	-0.34ns	-0.37ns	0.19ns	0.46ns
9	CAT											
10	پراکسیداز		-0.99**	0.87**	0.44ns	0.17ns	0.57*	-0.04ns	1	0.65**	-0.86**	-0.96**
	POD											
1	سوپراکسید دیسموتاز		-0.52*	0.27ns	0.13ns	0.50*	0.70**	-0.14ns	0.57*	1	-0.36ns	-0.68**
2	SOD											
3	ارتفاع گیاه		0.94**	-0.84**	-0.17ns	-0.35ns	-0.70**	0.23ns	-0.92**	-0.57*	1	0.84**
4	Plant height											
5	وزن خشک		0.96**	-0.85**	-0.26ns	-0.38ns	-0.73**	0.17ns	-0.96**	-0.67**	0.96**	1
6	Dry weight											

ns و \*\* به ترتیب غیر معنی‌دار و معنی‌دار در سطح احتمال ۵ درصد و ۱ درصد ns and \* and \*\*: Non-significant and significant in probability levels of 5% and 1% respectively

جدول ۶. ضرایب همبستگی صفات اندازه‌گیری شده در گیاهچه‌های سیب‌زمینی تحت تأثیر دمای پایین (صفر درجه سانتی‌گراد)

	NO	1	2	3	4	5	6	7	8	9	10
1	بقا	1									
2	Survival										
3	فنول	-0.46ns	1								
4	Phenol										
5	پرولین	-0.80**	0.59*	1							
6	Prolin										
7	کربوهیدرات	0.37ns	-0.64**	-0.44ns	1						
8	Souble carbohydrate										
9	مالون دی‌آلدئید	0.35ns	-0.79**	-0.73**	0.59*	1					
10	MDA										
11	کاتالاز	-0.62**	0.57*	0.75**	-0.39ns	-0.67**	1				
12	CAT										
13	پراکسیداز	0.92**	-0.41ns	-0.56*	0.26ns	0.16ns	-0.44ns	1			
14	POD										
15	سوپراکسید دیسموتاز	0.70**	-0.79**	-0.91**	0.59*	0.82**	-0.84**	0.50*	1		
16	SOD										
17	ارتفاع گیاه	0.85**	-0.41ns	-0.93**	0.25ns	0.49*	-0.69**	0.64**	0.77**	1	
18	Plant height										
19	وزن خشک	0.81**	-0.61**	-0.99**	0.43ns	0.75**	-0.82**	0.58*	0.93**	0.92**	1
20	Dry weight										

ns و \*\* به ترتیب غیر معنی‌دار و معنی‌دار در سطح احتمال ۵ درصد و ۱ درصد ns and \* and \*\*: Non-significant and significant in probability levels of 5% and 1% respectively

جدول ۷. ضرایب همبستگی صفات اندازه‌گیری شده در گیاهچه‌های سیب‌زمینی تحت تأثیر دما (قطر بالا ۴ درجه سانتی‌گراد و قطر پایین ۲ درجه سانتی‌گراد)

Table 7. Correlation coefficients of studied traits in potato seedlings after application of low temperature (2°C and 4°C (upper diameter 4 °C and lower diameter 2°C)

	2 °C \ 4 °C	1	2	3	4	5	6	7	8	9	10
1 Survival	بقاء	1	-0.84**	-0.59*	-0.42ns	0.73**	0.12ns	-0.52*	-0.62**	0.40ns	0.84**
2 Phenol	فنول	-0.49*	1	0.44ns	0.31ns	-0.84**	-0.21ns	0.55*	0.31ns	-0.21ns	-0.81**
3 Prolin	پرولین	-0.64**	0.35ns	1	0.68**	-0.20ns	0.18ns	0.33ns	0.66**	-0.62**	-0.76**
4 کربوهیدرات	کربوهیدرات	0.35ns	-0.54*	0.20ns	1	-0.04ns	-0.09ns	0.11ns	0.45ns	-0.60**	-0.52*
5 مالون دی‌آلدئید	Souble carbohydrate	-0.84**	0.12ns	0.62**	-0.04ns	1	0.16ns	-0.39ns	-0.17ns	-0.14ns	0.58*
6 MDA	CAT	-0.50*	-0.20ns	-0.08ns	-0.09ns	0.63**	1	0.29ns	0.12ns	-0.05ns	0.09ns
7 POD	پراکسیداز	0.06ns	-0.34ns	0.56*	0.11ns	0.18ns	-0.27ns	1	0.50ns	-0.35ns	-0.55*
8 SOD	سوپراکسیدیسموتاز	0.11ns	-0.63**	-0.09ns	0.45ns	0.31ns	0.41ns	0.40ns	1	-0.68**	-0.73**
9 Plant height	ارتفاع گیاه	0.47ns	-0.32ns	-0.89**	-0.60**	-0.47ns	0.23ns	-0.68**	-0.02ns	1	0.54*
10 Dry weight	وزن خشک	0.53*	-0.63**	-0.86**	-0.52*	-0.36ns	0.36ns	-0.32ns	0.47ns	0.75**	1

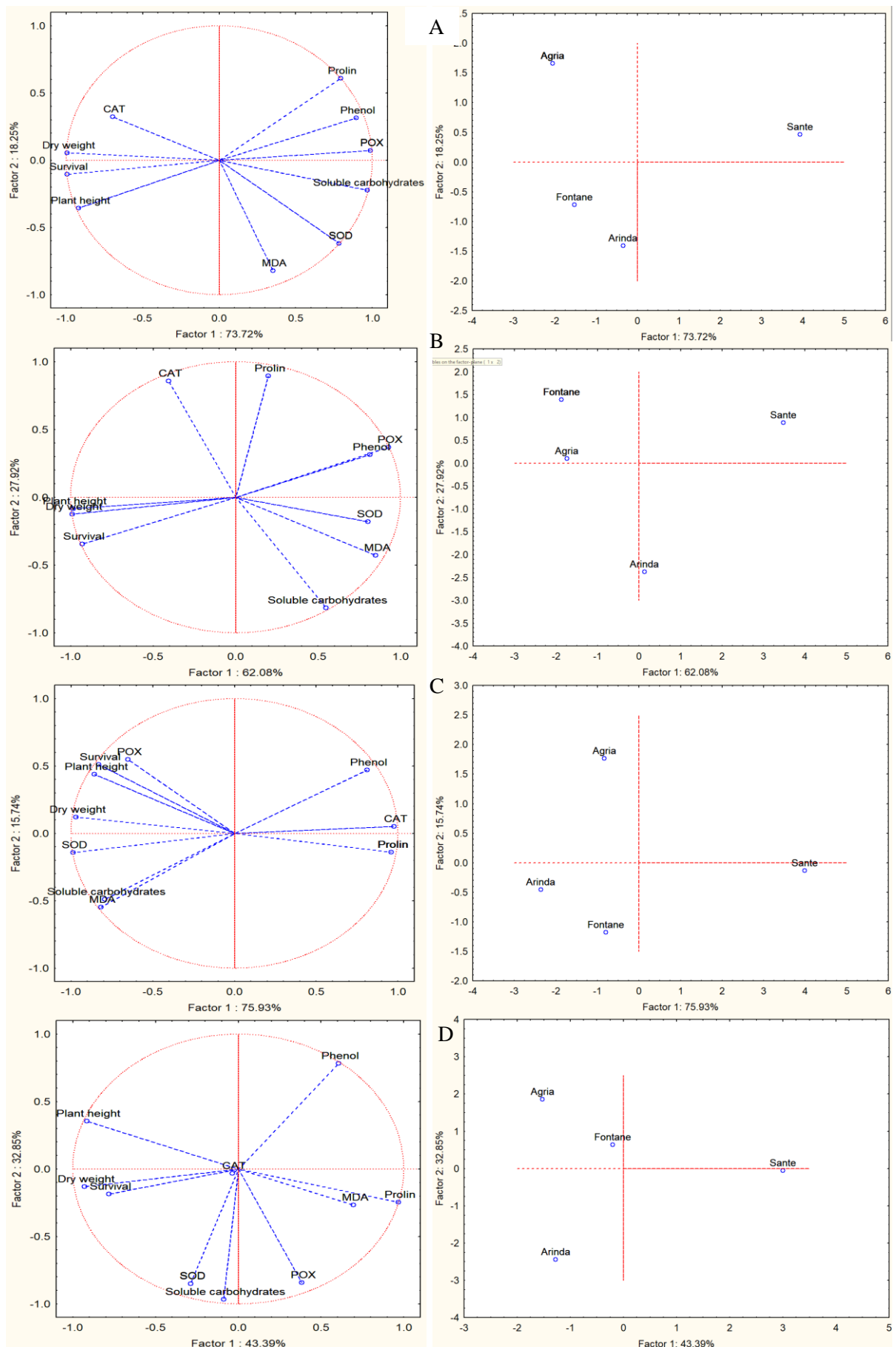
ns و \* و \*\* به ترتیب غیر معنی‌دار و معنی‌دار در سطح احتمال ۵ درصد و ۱ درصد ns and \* and \*\*: Non-significant and significant in probability levels of 5% and 1% respectively

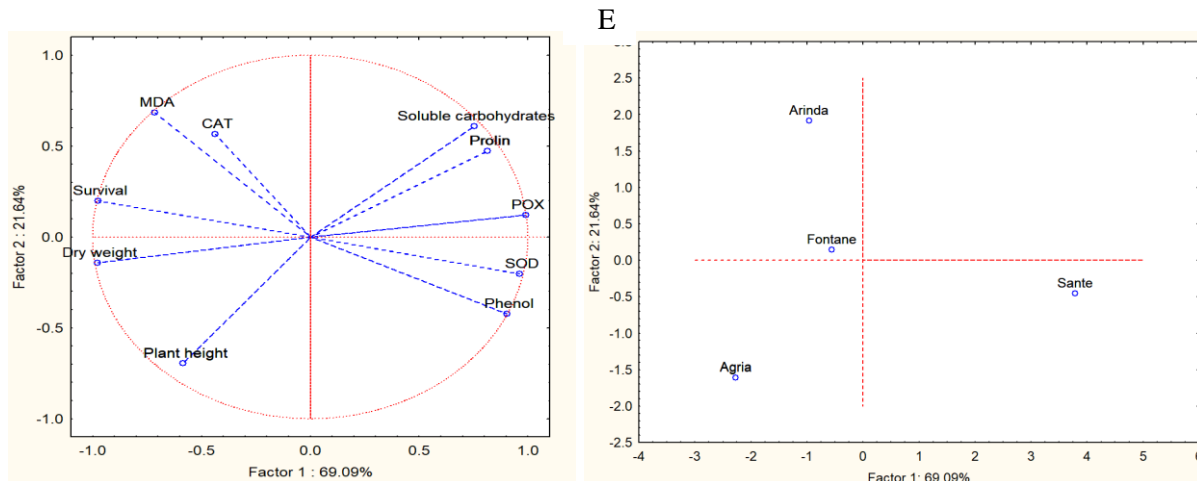
داده‌ها را توجیه کردند. در تمامی دماها رقم سانته جدا از سایر ارقام قرار گرفت و بقای پایین‌تری نیز دارا بود. در دماهای -۴ و -۲°C - ارقام فونتانه و اگریا در یک بعد قرار گرفته و از نظر بقای فعالیت آنزیم کاتالاز، وزن ارتفاع بوته و خشک اندام هوایی برتر بودند (شکل ۲).

**نتیجه‌گیری نهایی**  
به طور کلی در این مطالعه مشاهده شد که رقم سانته نسبت به سه رقم آگریا، فونتانه و آریندا از حساسیت بیشتری به سرما برخوردار بود از طرف دیگر ارقام فونتانه و اگریا از نظر تحمل به سرما نسبتاً متحمل‌تر بودند و بقایی بالاتری نیز داشتند. اثر متابولیت‌ها و ترکیب‌های آنتی‌اکسیدانی موردمطالعه رقم فونتانه در شرایط تنفس سرما بارزتر بوده و موجب ایجاد سازوکار دفاعی بهتر و کارآمدتر نسبت به سایر ارقام شد که در نهایت تحمل به سرمای بهتری نیز نشان داد. در تجزیه مؤلفه‌های اصلی نیز در تمامی دماها رقم سانته جدا از سایر ارقام قرار گرفت و بقای پایین‌تری نیز دارا بود. در دماهای -۴ و -۲ درجه سانتی‌گراد ارقام فونتانه و اگریا از نظر بقای، فعالیت آنزیم کاتالاز، وزن ارتفاع بوته و خشک اندام هوایی برتر بودند.

احتمالاً رقم‌های مقاوم به سرما در این بررسی با تغییر در ساختار غشاء، ترکیب اسیدهای چرب غشاء، تغییرات متابولیکی، تغییر در مقادیر پروتئین، افزایش فعالیت آنزیم‌های دخیل در جمع‌آوری گونه‌های فعال اکسیژن و به طبع با کاهش خدمات واردہ به غشاء سلولی و کاهش نشت الکتروولیت‌ها توانسته‌اند یکپارچگی ساختار غشاء را حفظ نموده و فرآیندهای متابولیسمی را با کارایی بیشتر در شرایط سرما در پی بگیرند و وزن خشک اندام هوایی بیشتری پس از دوره سرما تولید کنند (Nezami et al., 2016). در این پژوهش همبستگی بین وزن خشک و بقا در دماهای -۴ و ۴ درجه سانتی‌گراد ( $r=0.84^{***}$ ،  $r=0.96^{***}$ ،  $r=0.91^{**}$ ) مثبت و معنی‌دار بود (جداول ۵ و ۶). پژوهشگران، کاهش وزن خشک اندام هوایی را در دوره بازیافت را به دلیل اثر خسارت ناشی از یخ‌زدگی و کاهش رشد مجدد اندام‌های هوایی دانسته‌اند (Nezami et al., 2010).

نمودار بای‌پلات بر مبنای مؤلفه‌های اصلی اول و دوم در هر یک از تیمارهای دمایی برای صفات و ارقام رسم شد (شکل ۲). بر اساس بای‌پلات رسم شده در دماهای -۴، -۲، ۰ و ۴ درجه سانتی‌گراد مؤلفه‌های اول و دوم درمجموع به ترتیب ۹۱/۹۷، ۹۱/۶۷، ۹۱/۱۱ و ۹۰/۰۰ درصد از واریانس





شکل ۲. پراکنش ارقام سیب‌زمینی بر اساس دو عامل اصلی اول و دوم A: ۴- درجه سانتی‌گراد، B: ۲- درجه سانتی‌گراد، C: صفر درجه سانتی‌گراد، D: ۰- درجه سانتی‌گراد، E: -۴- درجه سانتی‌گراد.

Fig. 2. Distribution of potato cultivars based on two main factors: A: 4°C, B: 2°C, C: 0°C, D: -2°C, E: -4°C.

## منابع

- Adhikari, L., Baral, R., Paudel, D., Min, D., Makaju, S.O., Poudel, H.P., Acharya, J.P., Missaoui, A.M., 2022. Cold stress in plants: Strategies to improve cold tolerance in forage species. *Plant Stress*, 4, 100081. <https://doi.org/10.1016/j.stress.2022.100081>
- Alisoltani, A., Alizadeh, H., Mahfoozi, S., Khayalparast, F., 2012. The effect of short and long terms cold acclimation on biochemical characteristics of spring and winter wheat (*Triticum aestivum* L.) cultivars. *Iranian Journal of Crop Sciences*, 14, 108-120. [In Persian with English Summary].
- Anderson, M. D., Prasad, T.K., Stewart, C. R., 1995. Changes in isoenzyme profiles of catalase, peroxidase and glutathione reductase during acclimation to chilling in mesocotyls of maize seedlings. *Plant Physiology*, 109, 1247-1257. <https://doi.org/10.1104/pp.109.4.1247>
- Barzan, Z., Dehdari, M., Amiri Fahliani, R., 2018. Evaluation of cold tolerance in rapeseed (*Brassica napus* L.) genotypes at seedling stage and its association with microsatellite markers. *Journal of Crop Production and Processing*, 8, 33-45. [In Persian with English Summary]. <https://doi.org/10.29252/jcpp.8.2.33>
- Bates L., Waldren R.P., Teare I.D., Rapid determination of free proline for water stress studies. *Plant Soil*, 1973; 39, 205-207. <https://doi.org/10.1007/BF00018060>
- Bustamante, C. A., Monti, L. L., Gabilondo, J., Scossa, F., Valentini, G., Budde, C. O., 2016. Differential metabolic rearrangements after cold storage are correlated with chilling injury resistance of peach fruits. *Front. Plant Science*. 7:1478. <https://doi.org/10.3389/fpls.2016.01478>
- Caverzan, A., Passaia, G., Rosa, S.B., Ribeiro, C.W., Lazzarotto, F., Margis-Pinheiro, M., 2012. Plant responses to stresses: role of ascorbate peroxidase in the antioxidant protection. *Genetics and Molecular Biology*. 35, 1011-1019. <https://doi.org/10.1590/S1415-47572012000600016>
- Chang, D.C., Sohn, H.B., Cho, J.H., Im, J.S., Jin, Y.I., Do, G.R., Kim, S.J., Cho, H.M., Lee, Y.B., 2014. Freezing and frost damage of potato plants: a case study on growth recovery, yield response, and quality changes. *Potato Research*, 57, 99-110. <https://doi.org/10.1007/s11540-014-9253-5>
- Che, Y., Zhang, N., Zhu, X., Li, S., Wang, S., Si, H., 2020. Enhanced tolerance of the transgenic potato plants overexpressing Cu/Zn superoxide dismutase to low temperature. *Scientia Horticulturae*, 261, 108949. <https://doi.org/10.1016/j.scienta.2019.108949>
- Chen, T.H., Gusta, L., Fowler, D.B., 1983. Freezing injury and root development in winter cereals. *Plant Physiology*, 73: 773-777. <https://doi.org/10.1104/pp.73.3.773>
- Cyril, J., Duncan, R.R., and Baird, W.V., 1998. Changes in membrane fatty acids in cold-acclimated turf grass. *Journal of Horticultural Science*, 33: 453-465. □ <https://doi.org/10.21273/HORTSCI.33.3.453C>

- de Freitas, G.M., Thomas, J., Liyanage, R., Lay, J.O., Basu, S., Ramegowda, V., do Amaral, M.N., Benitez, L.C., Braga, E.J., Pereira, A., 2019. Cold tolerance response mechanisms revealed through comparative analysis of gene and protein expression in multiple rice genotypes. PLoS ONE. 14, e0218019. <https://doi.org/10.1371/journal.pone.0218019>
- Dubois, M., Gilles, K. A., Hamilton, J. K., Rebers, P. A., Smith, F., 1956. Calorimetric method for determination of sugars and related substances. Analytical Chemistry Acta, 28, 350-356. <https://doi.org/10.1021/ac60111a017>
- Fridovich, I., 1986. Biological effects of the superoxide radical. Archives of Biochemistry and Biophysics, 247, 1-11. [https://doi.org/10.1016/0003-9861\(86\)90526-6](https://doi.org/10.1016/0003-9861(86)90526-6)
- Fry, J.D., Lang, N.S., Clifton, R.G.P., Maier, F.P., 1993. Freezing tolerance and carbohydrate content of low temperature-acclimated and non-acclimated centipede grass. Crop Science, 33, 1051-1055. <https://doi.org/10.2135/cropsci1993.0011183X003300050035x>
- Fu, J., Miao, Y., Shao, L., Hu, T., Yang, P., 2016. De novo transcriptome sequencing and gene expression profiling of *Elymus nutans* under cold stress. BMC Genomics 17, 870. <https://doi.org/10.1186/s12864-016-3222-0>
- Fürtauer, L., Weiszmann, J., Weckwerth, W., Nägele, T., 2019. Dynamics of plant metabolism during cold acclimation. International Journal of Molecular Sciences, 20, 5411. <https://doi.org/10.3390/ijms20215411>
- Fuyi, M., Mengyun, L., 1995. Potato Cultivation Physiology. Beijing: China Agriculture Press, 65-80.
- Giannopolitis, C. N., Ries, S. K., 1977. Superoxide dismutase. I. occurrence in higher plants. Plant Physiology, 59, 309-314. <https://doi.org/10.1104/pp.59.2.309>
- Gültekin, R., Ertek, A., 2018. Effects of deficit irrigation on the potato tuber development and quality. International Journal of Agriculture Environment and Food Sciences, 2, 93-98. <https://doi.org/10.31015/jaefs.18015>
- Gusta, L. V., Wisniewski, M., 2013. Understanding plant cold hardiness: an opinion. Physiologia Plantarum. 147, 4-14. <https://doi.org/10.1111/j.1399-3054.2012.01611.x>
- Hijmans R.J., Spooner D.M., 2001. Geographic distribution of wild potato species. American Journal of Botany, 88, 2101-2112. <https://doi.org/10.2307/3558435>
- Huang, X., Shi, H., Hu, Z., Liu, A., Amombo, E., Chen, L., Fu, J., 2017. ABA is involved in regulation of cold stress response in bermudagrass. Frontiers in Plant Science, 8, 1613. <https://doi.org/10.3389/fpls.2017.01613>.
- Li F., Liu J., Duan S.G., Jin L.P. 2008. Physicochemical changes related to the freezing tolerance during cold acclimation in potato seedling. Chinese Potato Journal, 22, 257-260. <https://doi.org/10.3969/j.issn.1672-3635.2008.05.001>.
- Lin, Q., Xie, Y., Liu, W., Zhang, J., Cheng, S., Xie, X., Guan, W., Wang, Z., 2017. UV-C treatment on physiological response of potato (*Solanum tuberosum* L.) during low temperature storage. Journal of Food Science and Technology, 54, 55-61. <https://doi.org/10.1007/s13197-016-2433-3>
- Liu, H., Ouyang, B., Zhang, J., Wang, T., Li, H., 2012. Differential modulation of photosynthesis, signaling, and transcriptional regulation between tolerant and sensitive tomato genotypes under cold stress. PLoS One, 7, 1-16.
- Luo, Z., Wu, X., Xie, Y., Chen, C., 2012. Alleviation of chilling injury and browning of postharvest bamboo shoot by salicylic acid treatment. Food Chemistry, 131, 456-461. <https://doi.org/10.1016/j.foodchem.2011.09.007>
- Mittler R., Vanderauwera S., Gollery M., Van Breusegem F., 2004. Reactive oxygen gene network of plants. Trends in Plant Science, 9, 490- 498.
- Moieni-Korbekandi, Z., Karimzadeh, G., Sharifi, M., 2014. Cold-induced changes of proline, malondialdehyde and chlorophyll in spring canola cultivars. Journal of Plant Physiology and Breeding, 4, 1-11.
- Nezami, A., Ahmadi Lahijani, M.J., Shojaei Noferest, K., Rezaei, J., Fazeli, F., 2016. Freezing tolerance of grass species under controlled conditions. Journal of Plant Production Research, 23, 89-106. [In Persian].
- Nezami, A., Khaninejad, S., Bahrami, M. R., Zarif Katab, H., 2018. Maximum efficiency of photosystem II as a freezing stress index in perennial ecotypes of rye (*Secale Montanum*). Iranian Journal of Field Crops Research, 16, 1-

14. [In Persian with English Summary] <https://doi.org/10.22067/gsc.v16i1.43975>
- Nezami, A., Khazaei, H.R., Azizi, H., Najibnia, S., 2009. Effects of acclimation on wheat (*Triticum aestivum* L.) cold tolerance under laboratory conditions. Journal of Crop Production, 2, 55-70. [In Persian with English Summary].
- Nezami, A., Nabati, J., Borzooei, A., Kamandi, A., Masomi, A., and Salehi, M., 2010. Evaluation of freezing tolerance in barley (*Hordeum vulgar* L.) cultivars at seedling stage under controlled conditions. Environmental Stresses in Crop Sciences, 3, 9-22. [In Persian with English Summary]. <https://doi.org/10.22077/escs.2010.79>
- Phukan, U.J., Jeena, G.S., Shukla, R.K., 2016. WRKY transcription factors: molecular regulation and stress responses in plants. Frontiers in Plant Science, 7, 60. <https://doi.org/10.3389/fpls.2016.00760>
- Prasad, T.K., Anderson, M.D., Martin, B.A., Stewart, C.R. 1994. Evidence for chilling-induced oxidative stress in maize seedlings and a regulatory role for hydrogen peroxide. Plant Cell, 6, 65-74. <https://doi.org/10.1105/tpc.6.1.65>
- Rihan, H.Z., Al-Issawi, M., Fuller, M.P., 2017. Advances in physiological and molecular aspects of plant cold tolerance. Journal of Plant Interactions, 12, 143-157. <https://doi.org/10.1080/17429145.2017.1308568>
- Siahmerghouie, A., Azizi, G., Nezami, A., Jahani-Kandari, M. 2011. Investigation of laboratory freeze tolerance of field grown fennel (*Foeniculum vulgare*) ecotypes. Journal of Horticultural Science, 25, 64-72. [In Persian with English Summary]. <https://doi.org/10.22067/jhorts4.v1390i1.9758>
- Singh, R.P., Prasad, P.V., Sharma, A.K., Reddy, K.R., 2011. Impacts of high-temperature stress and potential opportunities for breeding. Wiley-Blackwell, Chichester, UK. p. 166– 185. <https://doi.org/10.1002/9780470960929.ch13>
- Singleton, V.L., Rossi, J.A., 1965. Colorimetry of total phenolics with phosphomolybdic-phosphotungstic acid reagents. American Journal of Enology and Viticulture, 16, 144-158. <https://doi.org/10.5344/ajev.1965.16.3.144>
- Soliman, M.H., Alayafi, A.A., El Kelish, A.A., Abu-Elsaoud, A.M., 2018. Acetylsalicylic acid enhance tolerance of *Phaseolus vulgaris* L. to chilling stress, improving photosynthesis, antioxidants and expression of cold stress responsive genes. Botanical Studies, 59, 1-17. <https://doi.org/10.1186/s40529-018-0222-1>
- Srinivas, N.D., Rashmi, K.R., Raghavarao, K.S.M.S., 1999. Extraction and purification of a plant peroxidase by aqueous two-phase extraction coupled with gel filtration. Process Biochemistry, 35, 43-48. [https://doi.org/10.1016/S0032-9592\(99\)00030-8](https://doi.org/10.1016/S0032-9592(99)00030-8)
- Stewart, R.R., Bewley, J.D., 1980. Lipid peroxidation associated with accelerated aging of soybean axes. Plant Physiology, 65, 245-248. <https://doi.org/10.1104/pp.65.2.245>
- Van Harsselaar, J.K., Lorenz, J., Senning, M., Sonnewald, U., Sonnewald, S., 2017. Genome-wide analysis of starch metabolism genes in potato (*Solanum tuberosum* L.). BMC Genomics, 18, 1-18. <https://doi.org/10.1186/s12864-016-3381-z>
- Velikova, V., Yordanov, I., Edreva, A., 2000. Oxidative stress and some antioxidant systems in acid rain-treated bean plants: Protective role of exogenous polyamines. Plant Science, 151, 59-66. [https://doi.org/10.1016/S0168-9452\(99\)00197-1](https://doi.org/10.1016/S0168-9452(99)00197-1)
- Willekens, H., Chamnongpol, S., Davey, M., Schraudner, M., Langebartels, C., Van Montagu, M., Inzé, D., Van Camp, W., 1997. Catalase is a sink for H<sub>2</sub>O<sub>2</sub> and is indispensable for stress defence in C3 plants. The EMBO Journal, 16, 4806-4816. <https://doi.org/10.1093/emboj/16.16.4806>
- Willick, I.R., Takahashi, D., Fowler, D.B., Uemura, M., Tanino, K.K., 2018. Tissue-specific changes in apoplastic proteins and cell wall structure during cold acclimation of winter wheat crowns. Journal of Experimental Botany, 69, 1221-1234. <https://doi.org/10.1093/jxb/erx450>
- Wu, Q., He, T., Liu, H., Luo, X., Yin, W., Chen, E., Li, F., 2019. Cell ultrastructure and physiological changes of potato during cold acclimation. Canadian Journal of Plant Science, 99, 873-884. doi: 10.1139/cjps-2019-0092.
- Yadav, S.K., 2010. Cold stress tolerance mechanisms in plants. A review. Agronomy for Sustainable Development, 30, 515-527. <https://doi.org/10.1051/agro/2009050>.

Yamaguchi-Shinozaki, K., Shinozaki, K., 2006. Transcriptional regulatory networks in cellular responses and tolerance to dehydration and cold stresses. Annual Review Plant Physiology and Plant Molecular Biology, 57, 781-803. <https://doi.org/10.1146/annurev.arplant.57.032905.105444>